

*Основы теоретического описания квантовой
механики квазичастиц в сверхпроводниках.
Уравнения Боголюбова, Андреева, и другие
подходы*

Лекция 1

А.С.Мельников

*АСТР МИПТ
ИРМ РАС*

◆ Электроны и дырки в нормальном металле и в сверхпроводнике.
Качественная картина.

План

◆ Гамильтониан БКШ. Эффективный гамильтониан.
Преобразование Боголюбова-Валатина.

◆ Уравнение самосогласования. Синглетные и триплетные состояния. S -, p -, d - и другие состояния куперовских пар. Общая структура волновой функции БКШ.

◆ Неоднородные сверхпроводящие состояния. Уравнения Боголюбова-де Жена. Функции Грина. Уравнения Горькова.

◆ Выражения для измеримых величин. Ток заряда и ток тепла. Плотность состояний. Спектр квазичастиц.

◆ Квазиклассическое приближение в сверхпроводниках. Уравнения Андреева, Эйденбергера и Узаделя.

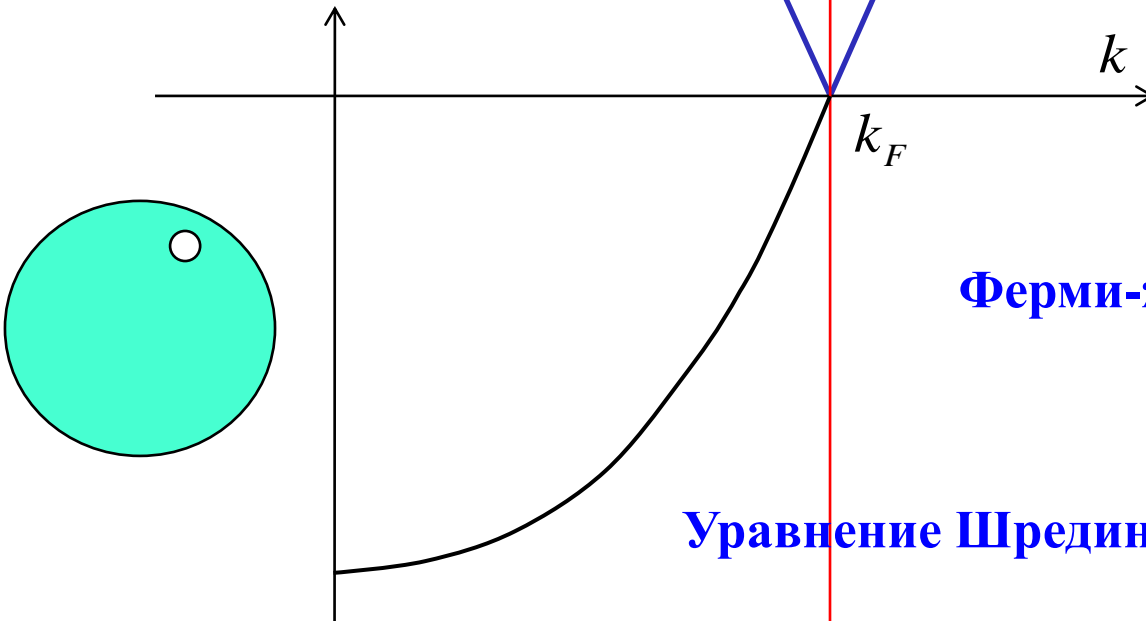
Электроны и дырки в нормальном металле

Дырки

Электроны

$$\varepsilon = \frac{\hbar^2 k_F^2}{2m} - \frac{\hbar^2 k^2}{2m} \approx V_F (k_F - k)$$

$$\varepsilon = \frac{\hbar^2 k^2}{2m} - \frac{\hbar^2 k_F^2}{2m} \approx V_F (k - k_F)$$



Ферми-жидкостные

эффекты: $\varepsilon = V_F^* |k - k_F|$

Уравнение Шредингера:

$$\left(\frac{\hbar^2 \nabla^2}{2m} + \frac{\hbar^2 k_F^2}{2m} \right) v = \varepsilon v$$

$$u = 0$$

$$\left(-\frac{\hbar^2 \nabla^2}{2m} - \frac{\hbar^2 k_F^2}{2m} \right) u = \varepsilon u$$

$$v = 0$$

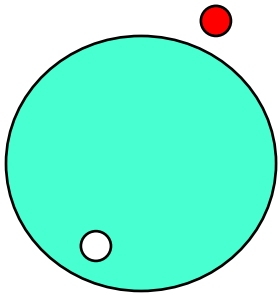
Электроны и дырки в нормальном металле

$$\langle 0 | \hat{a}_q \hat{a}_k^+ | 0 \rangle \neq 0$$

- вероятность рассеяния электрона из состояния $|\hat{a}_k^+ | 0 \rangle$ в состояние $|\hat{a}_q^+ | 0 \rangle$

Электроны и дырки в сверхпроводнике. Аномальные средние.

$$\langle 0 | \hat{a}_q^+ \hat{a}_k^+ | 0 \rangle \neq 0 \quad - \text{вероятность рассеяния электрона из состояния } |\hat{a}_k^+ | 0 \rangle \text{ в дырочное состояние } |\hat{a}_q | 0 \rangle$$



2 связанных уравнения Шредингера = уравнения Боголюбова

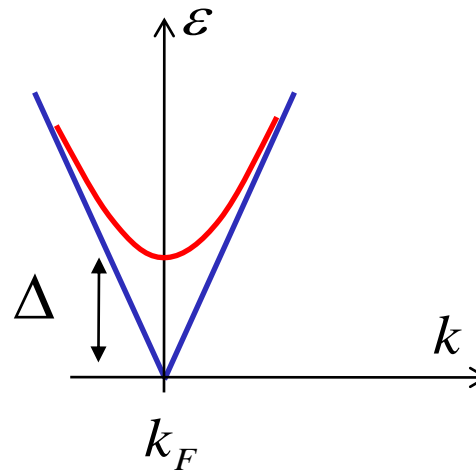
$$\left(\frac{\hbar^2 \nabla^2}{2m} - \frac{\hbar^2 k_F^2}{2m} \right) u + \Delta v = \epsilon u$$
$$\left(\frac{\hbar^2 \nabla^2}{2m} + \frac{\hbar^2 k_F^2}{2m} \right) v + \Delta u = \epsilon v$$

Однородное сверхпроводящее состояние:

$$\begin{pmatrix} u \\ v \end{pmatrix} = \begin{pmatrix} \tilde{u} \\ \tilde{v} \end{pmatrix} e^{i\vec{k}\vec{r}}$$

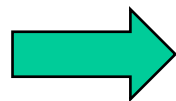
$$\varepsilon = \pm \sqrt{\Delta^2 + (\hbar V_F (k - k_F))^2}$$

Сверхпроводящая щель



Низкие температуры: в однородном сверхпроводнике с изотропной щелью квазичастиц нет

**Неоднородности
щели**



**Изменение спектра
квазичастиц**




**Информация о типе
сверхпроводящего
спаривания**

Эксперименты: туннельная спектроскопия, теплопроводность, теплоемкость, поглощение ЭМ волн, спиновая восприимчивость,

Кое-какие «мелочи»:

*магнитное поле, фаза параметра порядка,
калибровочная инвариантность, потенциальное
рассеяние на неоднородностях, границах, спин*


$$\left(\frac{\hbar^2 \left(\nabla - \frac{ie}{\hbar c} \vec{A} \right)^2}{2m} - \frac{\hbar^2 k_F^2}{2m} + V_{so} + U \right) u + \Delta v = (\varepsilon + \beta \vec{H} \vec{\sigma}) u$$
$$\left(\frac{\hbar^2 \left(\nabla + \frac{ie}{\hbar c} \vec{A} \right)^2}{2m} + \frac{\hbar^2 k_F^2}{2m} - V_{so} - U \right) v + \Delta^* u = (\varepsilon + \beta \vec{H} \vec{\sigma}) v$$

$$V_{so} = -\frac{e\hbar}{4m^2 c^2} \vec{\sigma} \left[\vec{E}, \hat{p} \right]$$

*Еще кое-какие «мелочи»:
Что такое дельта?*

*Ответ 1: дельта – это именно тот параметр
порядка, который появляется в теории типа
Гинзбурга-Ландау*

*Ответ 2: дельта – это самосогласованное поле
куперовских пар*

*Ответ 3: дельта – это вообще-то нелокальный
оператор*

$$\hat{\Delta}u = \int \Delta(\vec{r}_1, \vec{r}_2)u(\vec{r}_2)d\vec{r}_2$$

Модель БКШ

$$\hat{H} = \sum \hbar V_F (k - k_F) a_{k\sigma}^+ a_{k\sigma} + g \sum a_{q\uparrow}^+ a_{-q\downarrow}^+ a_{-k\downarrow} a_{k\uparrow}$$

Коммутационные соотношения $\{a_{k\sigma}^+ a_{q\beta}\} = \delta_{kq} \delta_{\sigma\beta}$

Метод среднего поля

$$\begin{aligned} \hat{H} &= \sum \hbar V_F (k - k_F) a_{k\sigma}^+ a_{k\sigma} \\ &+ g \sum \langle a_{q\uparrow}^+ a_{-q\downarrow}^+ \rangle a_{-k\downarrow} a_{k\uparrow} \\ &+ g \sum a_{q\uparrow}^+ a_{-q\downarrow}^+ \langle a_{-k\downarrow} a_{k\uparrow} \rangle \\ &- g \sum \langle a_{q\uparrow}^+ a_{-k\downarrow} \rangle a_{-q\downarrow}^+ a_{k\uparrow} + g \sum a_{q\sigma}^+ a_{k\sigma} \langle a_{-q-\sigma}^+ a_{-k-\sigma} \rangle \end{aligned}$$

Эффективный гамильтониан

$$\hat{H} = \sum \hbar V_F (k - k_F) a_{k\sigma}^+ a_{k\sigma} + \sum \Delta^* a_{-k\downarrow} a_{k\uparrow} + \sum a_{q\uparrow}^+ a_{-q\downarrow}^+ \Delta$$

Уравнение самосогласования

$$g \sum_k \langle a_{-k\downarrow} a_{k\uparrow} \rangle = \Delta$$

Преобразование Боголюбова-Валатина

$$a_{k\uparrow} = u_{k\uparrow} \alpha_{k\uparrow} + v_{k\uparrow}^* \alpha_{-k\downarrow}^+$$

$$a_{k\uparrow}^+ = u_{k\uparrow}^* \alpha_{k\uparrow}^+ + v_{k\uparrow} \alpha_{-k\downarrow}$$

$$a_{k\downarrow} = u_{k\downarrow} \alpha_{k\downarrow} - v_{k\downarrow}^* \alpha_{-k\uparrow}^+$$

$$a_{k\downarrow}^+ = u_{k\downarrow}^* \alpha_{k\downarrow}^+ - v_{k\downarrow} \alpha_{-k\uparrow}$$

$$H = U_0 + \sum_{k\sigma} \varepsilon_k \alpha_{k\sigma}^+ \alpha_{k\sigma} \quad \{ \alpha_{k\sigma}^+ \alpha_{q\beta} \} = \delta_{kq} \delta_{\sigma\beta}$$

$$|u_{k\sigma}|^2 + |v_{k\sigma}|^2 = 1$$

$$|u_{k\sigma}|^2 = \frac{1}{2} \left(1 + \frac{\xi_k}{\varepsilon_k} \right)$$

$$|v_{k\sigma}|^2 = \frac{1}{2} \left(1 - \frac{\xi_k}{\varepsilon_k} \right)$$

$$\xi_k = \hbar V_F (k - k_F)$$

$$\varepsilon_k = \sqrt{\xi_k^2 + |\Delta|^2}$$

$$\frac{|g|}{2V} \sum_k \frac{\Delta}{\varepsilon_k} \tanh \frac{\varepsilon_k}{2T} = \Delta$$

Неоднородные состояния

Введем полевые операторы: $\Psi_\sigma(\vec{r}) = \sum_k e^{i\vec{k}\vec{r}} a_{k\sigma}$

$$\{\Psi_\sigma(\vec{r})\Psi_\beta^+(\vec{r}')\} = \delta_{\sigma\beta}\delta(\vec{r} - \vec{r}')$$

$$\hat{H} = \sum \int \Psi_\sigma^+(\vec{r}) \left(\overset{\hat{H}_0}{\frac{1}{2m} \left(\hat{\vec{p}} - \frac{e}{c} \vec{A} \right)^2 + U_0(\vec{r}) - \mu} \right) \Psi_\sigma(\vec{r}) d^3 r$$

$$+ g \int \Psi_\uparrow^+(\vec{r}) \Psi_\downarrow^+(\vec{r}) \Psi_\downarrow(\vec{r}) \Psi_\uparrow(\vec{r}) d^3 r$$

$$\hat{H} = \sum \int \Psi_\sigma^+(\vec{r}) \left(\frac{1}{2m} \left(\hat{\vec{p}} - \frac{e}{c} \vec{A} \right)^2 + U(\vec{r}) - \mu \right) \Psi_\sigma(\vec{r}) d^3 r$$

$$+ \int \Psi_\uparrow^+(\vec{r}) \Psi_\downarrow^+(\vec{r}) \Delta(\vec{r}) d^3 r + \int \Delta^*(\vec{r}) \Psi_\downarrow(\vec{r}) \Psi_\uparrow(\vec{r}) d^3 r$$

BCS mean field theory.

Bogolubov canonical transformation.

No changes in the operator commutation rules

Annihilation and creation electron operators \rightarrow

$$\hat{\Psi}_\alpha(\vec{r}) = \sum_n \left(u_{\alpha n}(\vec{r}) \hat{c}_n + v_{\alpha n}^*(\vec{r}) \hat{c}_n^+ \right)$$
$$\hat{\Psi}_\alpha^+(\vec{r}) = \sum_n \left(u_{\alpha n}^*(\vec{r}) \hat{c}_n^+ + v_{\alpha n}(\vec{r}) \hat{c}_n \right)$$

\leftarrow Annihilation and creation quasiparticle operators

Inverse transformation

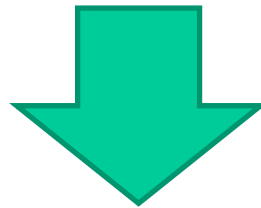
$$\hat{c}_n = \sum_\alpha \int d^3 r \left(u_{\alpha n}^*(\vec{r}) \hat{\Psi}_\alpha + v_{\alpha n}^*(\vec{r}) \hat{\Psi}_\alpha^+ \right)$$
$$\hat{c}_n^+ = \sum_\alpha \int d^3 r \left(u_{\alpha n}(\vec{r}) \hat{\Psi}_\alpha^+ + v_{\alpha n}(\vec{r}) \hat{\Psi}_\alpha \right)$$

Fermi commutation rules:

$$\{c_n^+ c_m\} = \delta_{nm} \quad \{c_n c_m\} = 0$$

Fermi commutation rules:

$$\{c_n^+ c_m\} = \delta_{nm} \quad \{c_n c_m\} = 0$$



Orthogonality condition:

$$\sum_{\alpha} \int (u_{\alpha\lambda}(\vec{r}) u_{\alpha\nu}^*(\vec{r}) + v_{\alpha\lambda}(\vec{r}) v_{\alpha\nu}^*(\vec{r})) d^3 r = \delta_{\lambda\nu}$$

Complete set of functions:

$$\sum_{\lambda} u_{\alpha\lambda}(\vec{r}) u_{\beta\lambda}^*(\vec{r}') = \delta(\vec{r} - \vec{r}') \delta_{\alpha\beta}$$

$$\sum_{\lambda} v_{\alpha\lambda}(\vec{r}) u_{\beta\lambda}^*(\vec{r}') = 0$$

Bogolubov – de Gennes equations and their symmetry

$$\begin{aligned}(\hat{H}_0 - \mu)u_\alpha + \int \Delta_{\alpha\beta}(r, r')v_\beta(r')d^3r' &= \epsilon u_\alpha \\ \int \Delta_{\alpha\beta}^+(r', r)u_\beta(r')d^3r' + (\mu - \hat{H}_0^*)v_\alpha &= \epsilon v_\alpha\end{aligned}$$

$$\Delta_{\alpha\beta}(\mathbf{r}, \mathbf{r}') = -\Delta_{\beta\alpha}(\mathbf{r}', \mathbf{r})$$

$$\epsilon \rightarrow -\epsilon$$

$$\begin{pmatrix} u_\alpha \\ v_\alpha \end{pmatrix} \rightarrow \begin{pmatrix} v_\alpha^* \\ u_\alpha^* \end{pmatrix}$$

All states come in pairs???

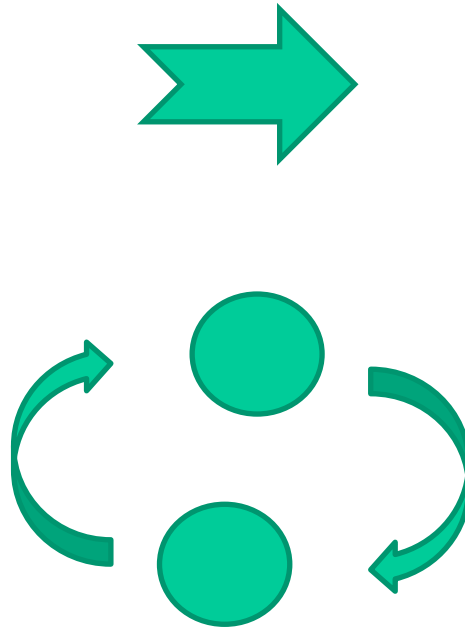
**Уравнение самосогласования.
Находим все решения уравнений БДЖ и находим
оператор щели.**

$$\Delta_{\alpha\beta} = \frac{1}{4} U_{\alpha\beta,\delta\gamma}(\mathbf{r}, \mathbf{r}') \sum_n (1 - 2f(\epsilon_n)) (v_{\gamma,n}^*(\mathbf{r}) u_{\delta,n}(\mathbf{r}') - v_{\delta,n}^*(\mathbf{r}') u_{\gamma,n}(\mathbf{r}))$$

$$\Delta_{\alpha\beta}(\vec{r}_1, \vec{r}_2) = \Delta_{\alpha\beta}(\vec{r}, \vec{R})$$

$$\vec{r} = \vec{r}_1 - \vec{r}_2$$

$$\vec{R} = \frac{\vec{r}_1 + \vec{r}_2}{2}$$



Internal momentum

$$\Delta_{\alpha\beta}(\vec{k}, \vec{R})$$

Ginzburg-Landau variable

Общая классификация решений.

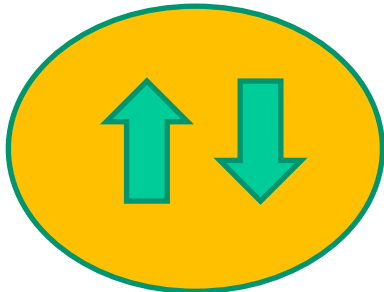
Singlet pairing

$$\Delta_{\alpha\beta}(r, r') = i\sigma_y D(r, r')$$

$$D(r, r') = D(r', r)$$

$$\varepsilon \rightarrow -\varepsilon$$

$$\begin{pmatrix} u \\ v \end{pmatrix} \rightarrow \begin{pmatrix} -v^* \\ u^* \end{pmatrix}$$



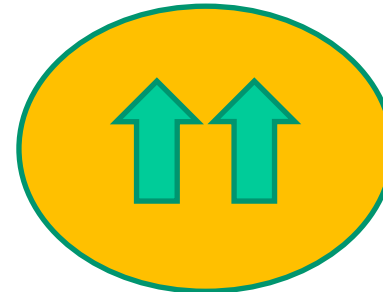
Triplet pairing

$$\Delta_{\alpha\beta}(r, r') = i\sigma_y \vec{\sigma} \vec{D}(r, r')$$

$$\vec{D}(r, r') = -\vec{D}(r', r)$$

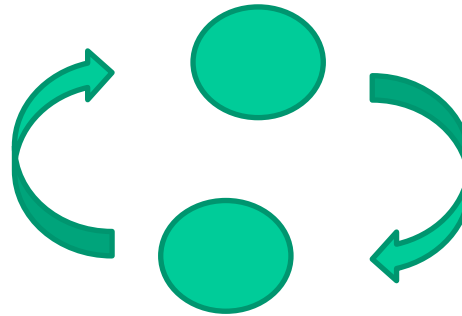
$$\varepsilon \rightarrow -\varepsilon$$

$$\begin{pmatrix} u \\ v \end{pmatrix} \rightarrow \begin{pmatrix} v^* \\ u^* \end{pmatrix}$$

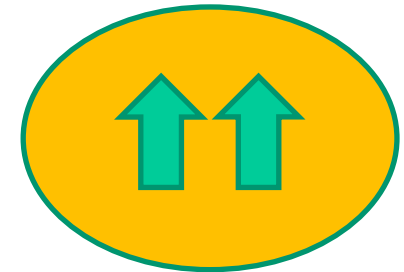
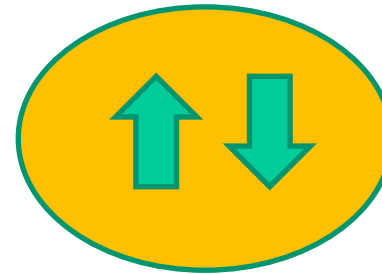
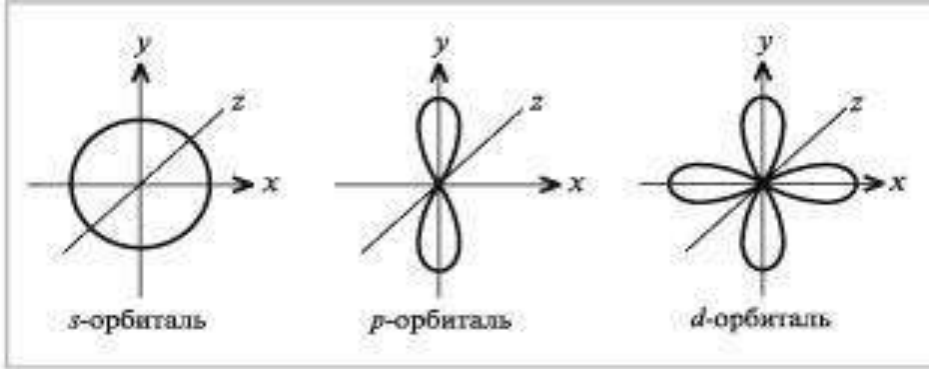


Электроны в сверхпроводнике. Структура куперовских пар

Орбитальная структура.
Момент импульса
взаимного движения.
Как в атоме!
s, p, d – орбитали



Спиновая структура.
Для 2х частиц:
синглетные и триплетные
состояния

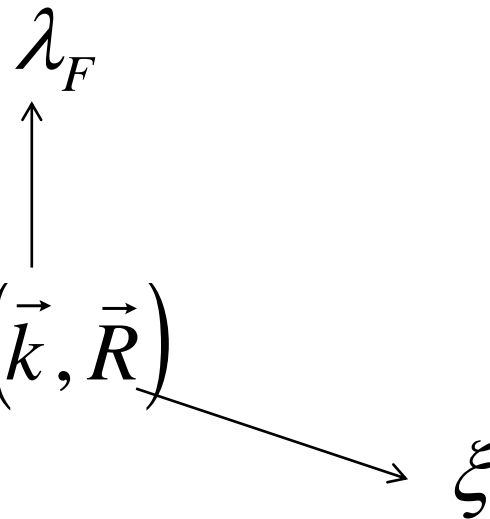


$$\Delta_{\alpha\beta}(\vec{r}_1, \vec{r}_2) = \Delta_{\alpha\beta}(\vec{r}, \vec{R})$$

$$\vec{r} = \vec{r}_1 - \vec{r}_2$$

$$\vec{R} = \frac{\vec{r}_1 + \vec{r}_2}{2}$$

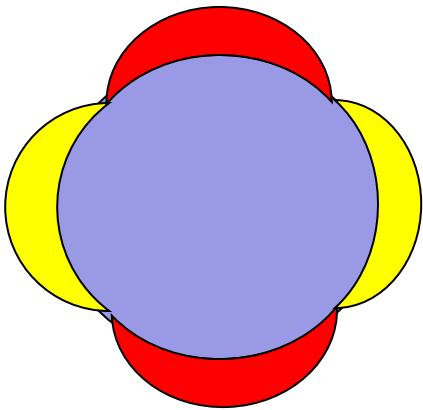
Структура куперовских пар. Разделение масштабов.

$$\Delta(\vec{r}_1, \vec{r}_2) = \sum_n c_n \Delta_n(\vec{k}, \vec{R})$$


$$\xi \gg \lambda_F$$

Анизотропное сверхпроводящее спаривание в ВТСП

Анизотропия сверхпроводящей щели в импульсном пространстве



$$\Delta = \frac{\Delta_0 k_x k_y}{k_F^2}$$

Последствия:

Квазичастицы выживают лучше при низких температурах

Midgap states

Impurity induced quasiparticle states

Некоторое отступление.
**Как устроена настоящая полная волновая
функция электронной системы в нормальном
металле и сверхпроводнике?**

$$\Psi = \frac{1}{\sqrt{N!}} \begin{vmatrix} \psi_1(\xi_1) & \psi_1(\xi_2) & \dots & \dots & \psi_1(\xi_N) \\ \psi_2(\xi_1) & \psi_2(\xi_2) & \dots & \dots & \dots \\ \dots & \dots & \dots & \dots & \dots \\ \dots & \dots & \dots & \dots & \dots \\ \psi_N(\xi_1) & \dots & \dots & \dots & \psi_N(\xi_N) \end{vmatrix}$$

$$\xi = (\vec{r}, s)$$

$$\Psi = \hat{A} \psi(\xi_1, \xi_2) \psi(\xi_3, \xi_4) \psi(\xi_5, \xi_6) \dots$$

А если число частиц нечетно?

Функции Грина. Уравнения Горькова.

$$G(\vec{r}_1, \vec{r}_2) = \sum_{\lambda} \frac{u_{\lambda}(\vec{r}_1)u_{\lambda}^*(\vec{r}_2)}{\varepsilon - \varepsilon_{\lambda}}$$

$$F(\vec{r}_1, \vec{r}_2) = \sum_{\lambda} \frac{v_{\lambda}(\vec{r}_1)u_{\lambda}^*(\vec{r}_2)}{\varepsilon - \varepsilon_{\lambda}}$$

$$(\hat{H}_0 - \mu - \varepsilon)G(\vec{r}_1, \vec{r}_2) + \Delta(\vec{r}_1)F(\vec{r}_1, \vec{r}_2) = -\delta(\vec{r}_1 - \vec{r}_2)$$

$$(\mu - \hat{H}_0^* - \varepsilon)F(\vec{r}_1, \vec{r}_2) + \Delta^*(\vec{r}_1)G(\vec{r}_1, \vec{r}_2) = 0$$

Выражения для измеримых величин. Ток заряда.

$$\mathbf{j}(\mathbf{r}) = \frac{ie}{2m} \sum_{\sigma} \{ \langle (\nabla \psi_{\sigma}^{\dagger}(\mathbf{r})) \psi_{\sigma}(\mathbf{r}) - \psi_{\sigma}^{\dagger}(\mathbf{r}) \nabla \psi_{\sigma}(\mathbf{r}) \rangle - \frac{e^2}{m} \mathbf{A}(\mathbf{r}) \sum_{\sigma} \langle \psi_{\sigma}^{\dagger}(\mathbf{r}) \psi_{\sigma}(\mathbf{r}) \rangle \}.$$

$$\mathbf{j}(\mathbf{r}) = \frac{ie}{m} \sum_{\mathbf{v}} \left\{ (u_{\mathbf{v}} \nabla u_{\mathbf{v}}^* - u_{\mathbf{v}}^* \nabla u_{\mathbf{v}} + 2ie\mathbf{A} |u_{\mathbf{v}}|^2) f\left(\frac{\epsilon_{\mathbf{v}}}{T}\right) + (v_{\mathbf{v}} \nabla v_{\mathbf{v}}^* - v_{\mathbf{v}}^* \nabla v_{\mathbf{v}} + 2ie\mathbf{A} |v_{\mathbf{v}}|^2) f\left(-\frac{\epsilon_{\mathbf{v}}}{T}\right) \right\}.$$



$$\vec{j} = -\frac{e^2 n_s}{mc} \vec{A} \quad \text{Уравнение Лондонов}$$


Теплопроводность.

$$Q = -\kappa \nabla T$$

$$Q = \frac{\hbar}{m} \operatorname{Re} \sum_n \varepsilon_n \left(u_n^* \left(-i\nabla - \frac{e}{c} \vec{A} \right) u_n - v_n^* \left(-i\nabla + \frac{e}{c} \vec{A} \right) v_n \right) f_n$$

$$\kappa \sim e^{-\Delta/T}$$

Методы решения.


$$\left(\frac{\hbar^2 \left(\nabla - \frac{ie}{\hbar c} \vec{A} \right)^2}{2m} - \frac{\hbar^2 k_F^2}{2m} + U \right) u + \Delta v = (\varepsilon \pm \beta H) u$$

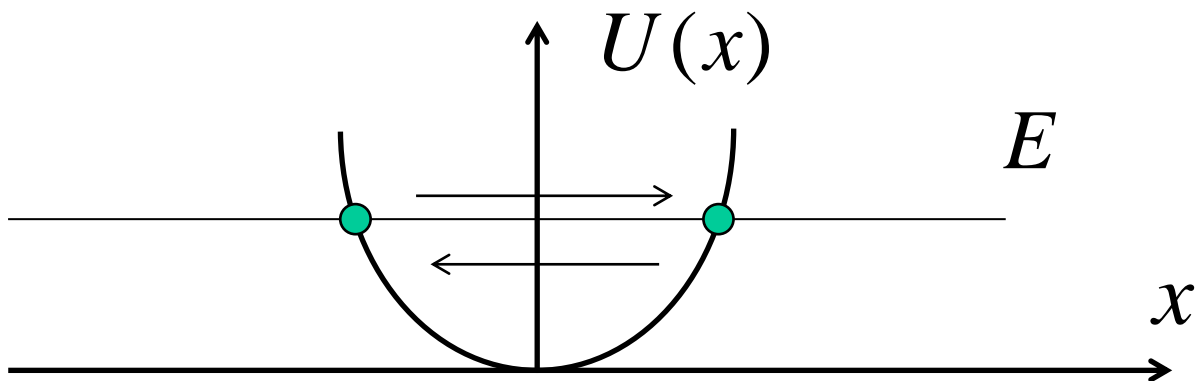
*Масштаб неоднородности
сверхпроводящей щели*

$$\left(\frac{\hbar^2 \left(\nabla + \frac{ie}{\hbar c} \vec{A} \right)^2}{2m} + \frac{\hbar^2 k_F^2}{2m} - U \right) v + \Delta^* u = (\varepsilon \pm \beta H) v$$
$$\xi = \frac{\hbar V_F}{\Delta}$$

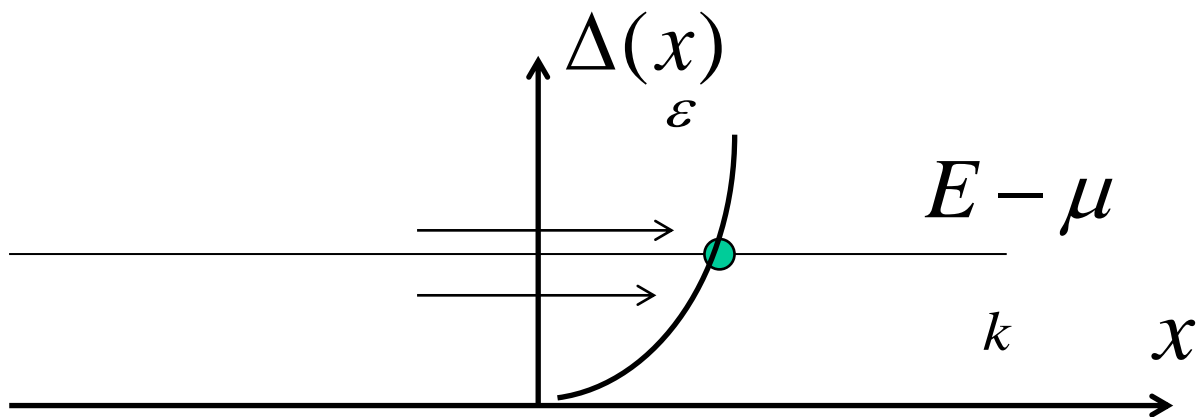
Квазиклассическое приближение:

$$\hat{\Psi} = (u, v) = \hat{\psi} e^{iS} \quad |\nabla S| = k_F \gg \frac{1}{\xi}$$

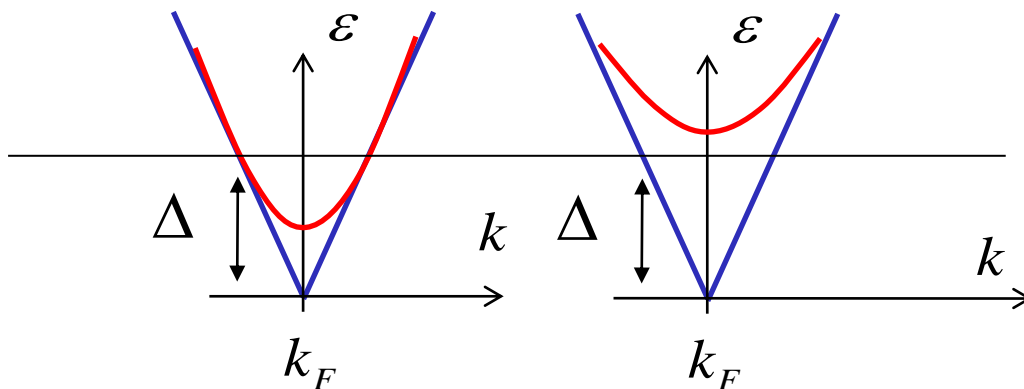
Как устроен эйконал и точки поворота?



$$k \rightarrow -k$$

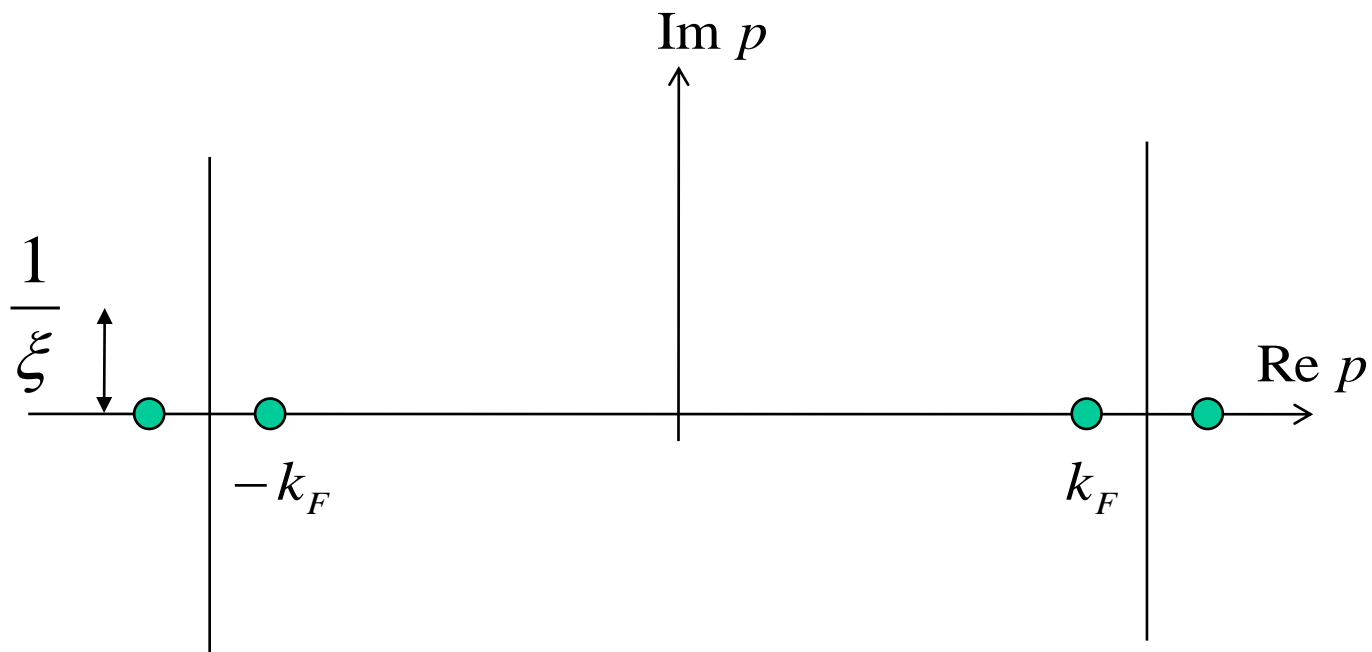


$$k_F \rightarrow k_F$$



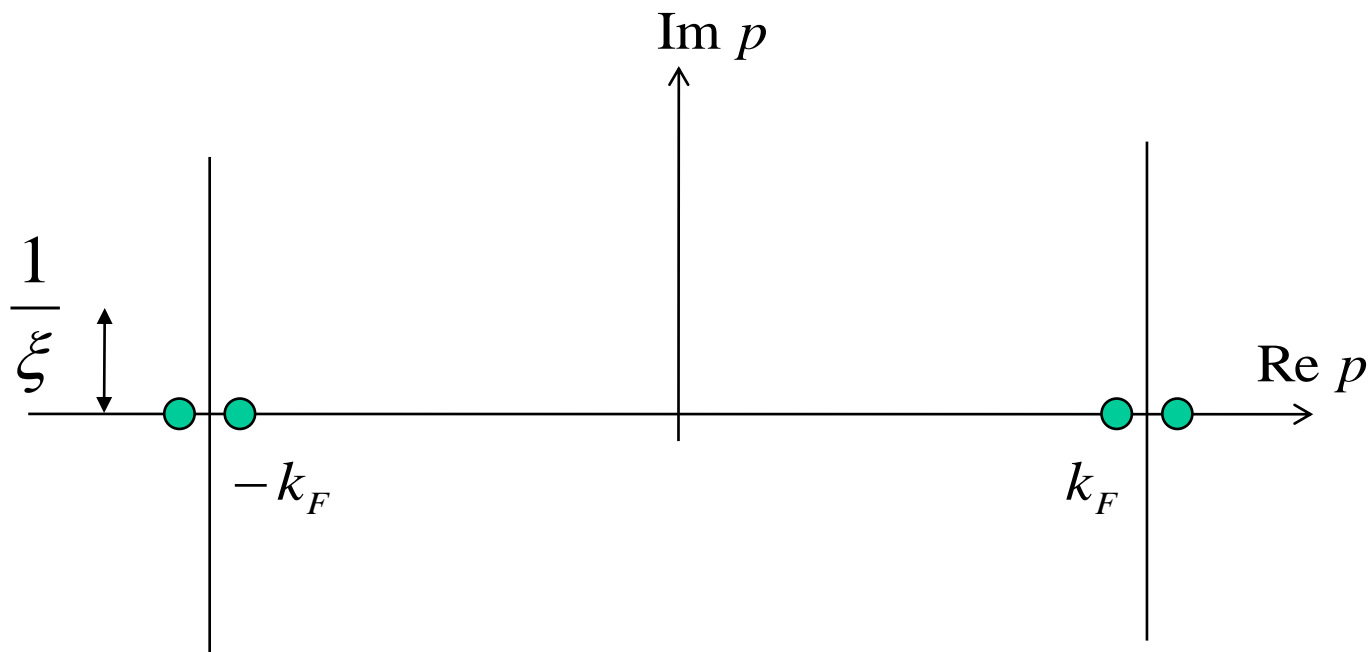
Особенности квазиклассического приближения в уравнениях Боголюбова.

$$p = S'_x$$



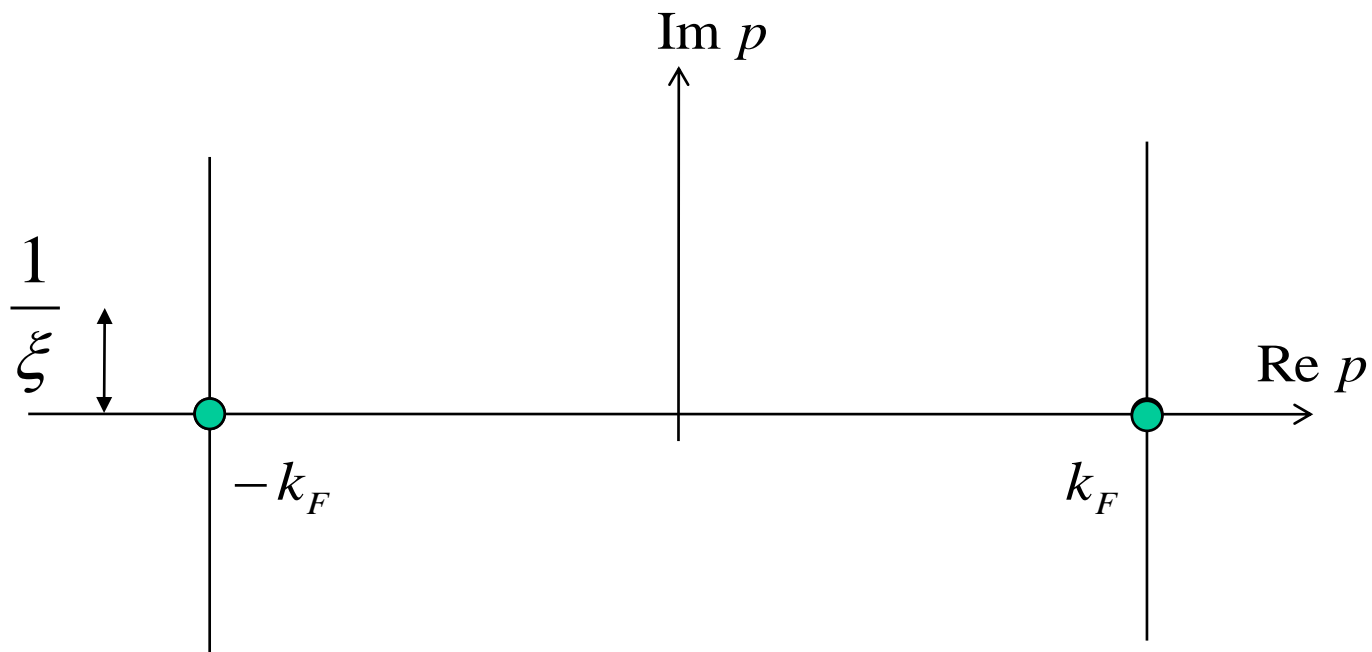
Особенности квазиклассического приближения в уравнениях Боголюбова.

$$p = S'_x$$



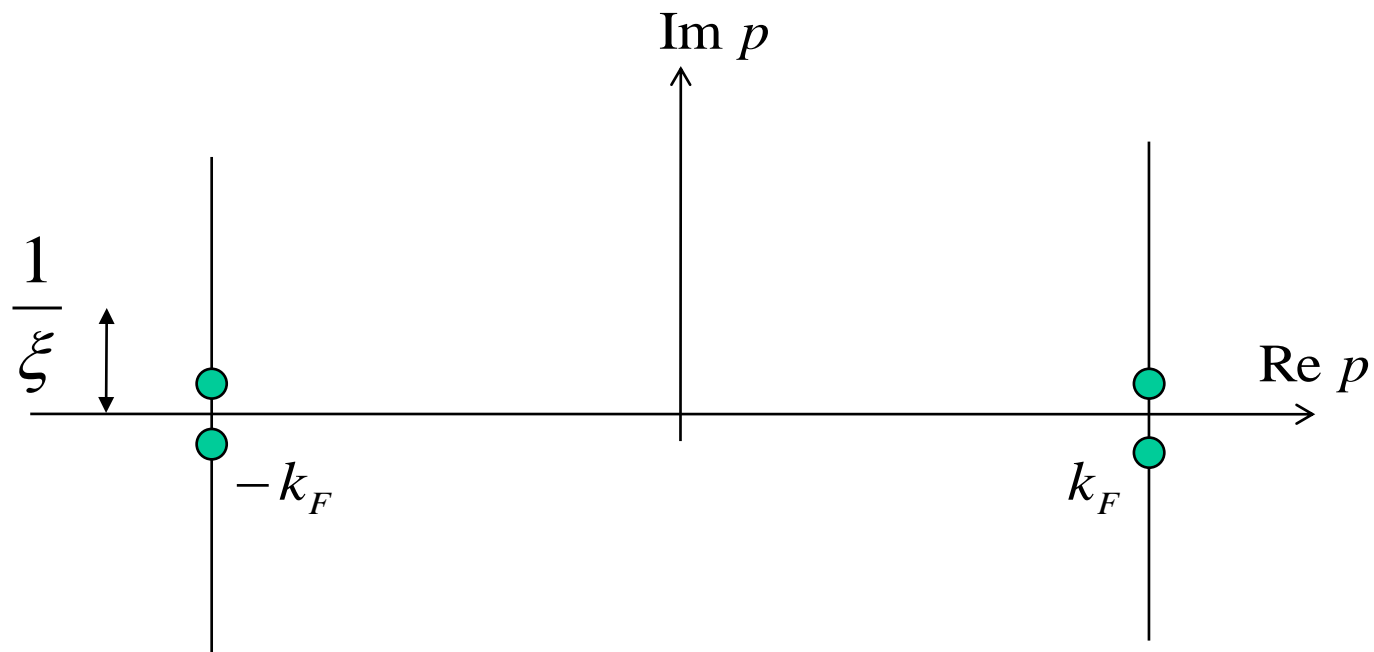
Особенности квазиклассического приближения в уравнениях Боголюбова.

$$p = S'_x$$



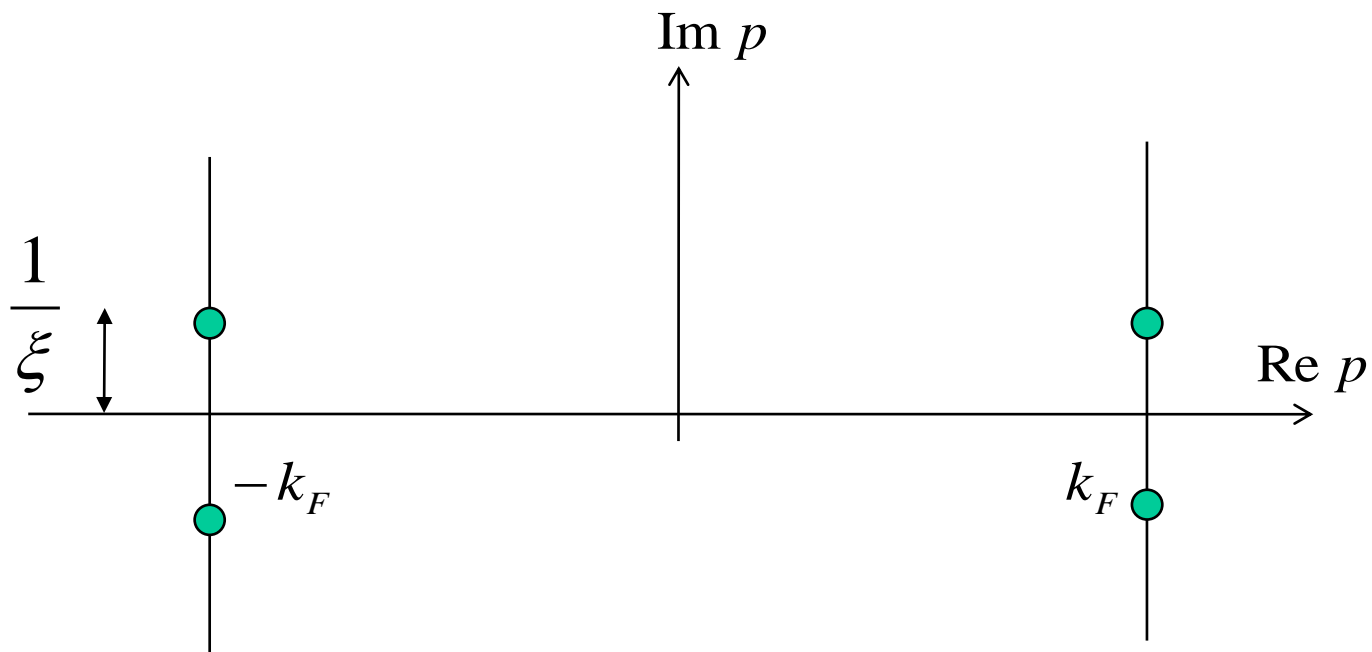
Особенности квазиклассического приближения в уравнениях Боголюбова.

$$p = S'_x$$



Особенности квазиклассического приближения в уравнениях Боголюбова.

$$p = S'_x$$



Еще особенности квазиклассического приближения в уравнениях Боголюбова.

Не учитываем искривление траекторий. Почему?

Масштабы искривления много больше длины когерентности.

Достаточно ли этого?

Не думаем про нормальное отражение от неоднородной щели. Почему?

$$\delta p \sim F \delta t \sim \delta t \cdot \Delta / \xi \sim (\xi / V_F) \cdot \Delta / \xi \sim \hbar / \xi \ll p_F$$

Quasiclassical approximation. 2D

$$\begin{aligned} & \left[\frac{1}{2m} \left(\hat{\mathbf{p}} - \frac{e}{c} \mathbf{A} \right)^2 - \varepsilon_{\perp} \right] u + V(\mathbf{r})u + \Delta(\mathbf{r})v = \varepsilon u \\ & - \left[\frac{1}{2m} \left(\hat{\mathbf{p}} + \frac{e}{c} \mathbf{A} \right)^2 - \varepsilon_{\perp} \right] v - V(\mathbf{r})v + \Delta^*(\mathbf{r})u = \varepsilon v \end{aligned}$$

$$\tilde{\Psi}(\mathbf{r}) = \begin{pmatrix} u \\ v \end{pmatrix} = \frac{1}{(2\pi\hbar)^2} \iint_{-\infty}^{\infty} e^{i\mathbf{p}\mathbf{r}/\hbar} \tilde{\psi}(\mathbf{p}) d^2\mathbf{p} \quad \mathbf{p} = p(\cos \theta_p, \sin \theta_p) = p\mathbf{p}_0$$

$$\hat{\mathbf{r}} = i\hbar \frac{\partial}{\partial \mathbf{p}} = i\hbar \left(\mathbf{p}_0 \frac{\partial}{\partial p} + \frac{i}{p} \{ [\mathbf{z}_0, \mathbf{p}_0], \hat{\mu} \} \right)$$

$$\hat{x} = i\hbar \cos \theta_p \frac{1}{\sqrt{p}} \frac{\partial}{\partial p} \sqrt{p} - \frac{i\hbar}{2p} \left\{ \sin \theta_p, \frac{\partial}{\partial \theta_p} \right\}$$

$$\hat{y} = i\hbar \sin \theta_p \frac{1}{\sqrt{p}} \frac{\partial}{\partial p} \sqrt{p} + \frac{i\hbar}{2p} \left\{ \cos \theta_p, \frac{\partial}{\partial \theta_p} \right\}$$

$$\hat{x} \simeq i\hbar \cos \theta_p \frac{\partial}{\partial q} - \frac{i}{2k_{\perp}} \left\{ \sin \theta_p, \frac{\partial}{\partial \theta_p} \right\}$$

$$\hat{y} \simeq i\hbar \sin \theta_p \frac{\partial}{\partial q} + \frac{i}{2k_{\perp}} \left\{ \cos \theta_p, \frac{\partial}{\partial \theta_p} \right\}$$

$$p = \hbar k_{\perp} + q \quad (|q| \ll \hbar k_{\perp})$$

Quasiclassical approximation. 2D

$$\hat{\Psi}(\vec{p}) = \frac{1}{k_{\perp}} \int_{-\infty}^{+\infty} e^{-i(|\vec{p}| - \hbar k_{\perp})s/\hbar} \hat{\psi}(s, \theta_p) ds$$

$$k_{\perp} = \sqrt{k_F^2 - k_z^2}$$

$$\vec{k}_{\perp} = k_{\perp} (\cos \theta_p, \sin \theta_p)$$

$$\hat{x} \simeq s \cos \theta_p - \frac{i}{2k_{\perp}} \left\{ \sin \theta_p, \frac{\partial}{\partial \theta_p} \right\}$$

$$\hat{y} \simeq s \sin \theta_p + \frac{i}{2k_{\perp}} \left\{ \cos \theta_p, \frac{\partial}{\partial \theta_p} \right\}$$

$$\hat{\Psi} = \begin{pmatrix} u \\ v \end{pmatrix} = \frac{e^{ik_z z}}{2\pi} \int_0^{2\pi} e^{ik_{\perp} r \cos(\theta_p - \theta)} \hat{\psi}(r \cos(\theta_p - \theta), \theta_p) d\theta_p$$

Quasiclassical approximation. 2D

$$\check{\psi}(s, \theta_p) = e^{iS_e(\theta_p)} \check{g}(s, \theta_p)$$

$$\hat{H}g = Eg$$

$$\hat{H} = -i\hbar V_{\perp} \tau_z \frac{\partial}{\partial s} + \tau_x \operatorname{Re} \Delta(s) - \tau_y \operatorname{Im} \Delta(s)$$

$$x = s \cos \theta_p - b \sin \theta_p$$

$$y = s \sin \theta_p + b \cos \theta_p$$

Прицельный параметр
траектории

$$b(\theta_p) = -\frac{1}{k_{\perp}} \frac{\partial S_e}{\partial \theta_p}$$

$$\frac{\mu}{k_{\perp}} = b$$

$$\int_0^{2\pi} \mu(\theta_p) d\theta_p = 2\pi(n + \beta)$$

Квазиклассическое приближение. Уравнения Андреева.

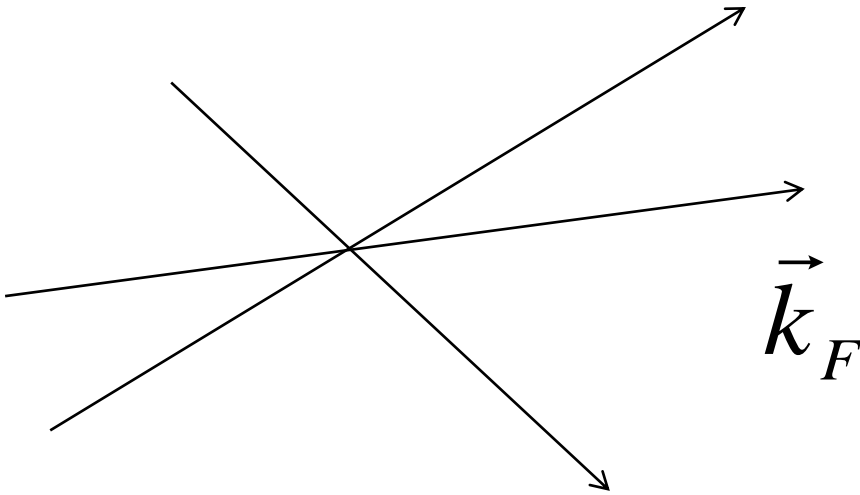


$$\left(-i\hbar\vec{V}_F \left(\nabla - \frac{ie}{\hbar c} \vec{A} \right) + U \right) u + \Delta v = (\varepsilon \pm \beta H) u$$

$$\left(i\hbar\vec{V}_F \left(\nabla + \frac{ie}{\hbar c} \vec{A} \right) - U \right) v + \Delta^* u = (\varepsilon \pm \beta H) v$$

Недостатки:

**Неучет отклонений траекторий в магнитном поле,
Прецессия траекторий (неточный backscattering при андреевском отражении)**

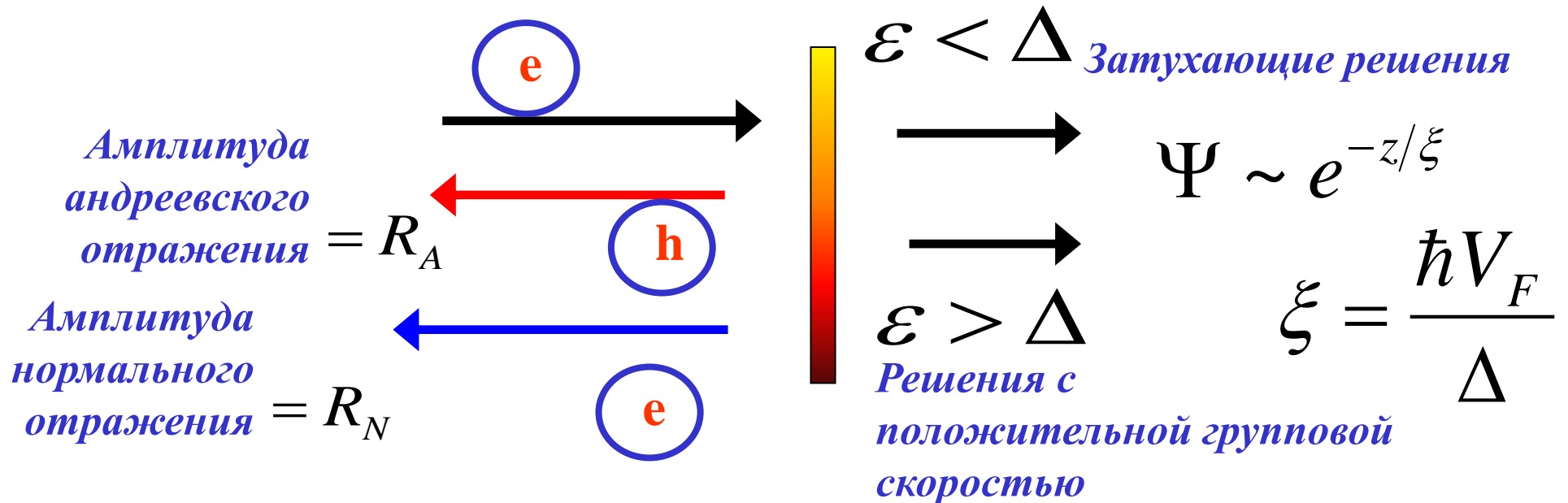


SIN граница. Постановка задачи.

$$\left(-\frac{\hbar^2 \nabla^2}{2m} - \frac{\hbar^2 k_F^2}{2m} + \hbar V_F Z \delta(z) \right) u + \Delta v = \varepsilon u$$

$$\left(\frac{\hbar^2 \nabla^2}{2m} + \frac{\hbar^2 k_F^2}{2m} - \hbar V_F Z \delta(z) \right) v + \Delta^* u = \varepsilon v$$

$$T = \frac{1}{1 + Z^2} = \text{вероятность прохождения электрона через барьер}$$



SIN граница. Коэффициенты прохождения и отражения.

$$\Psi = \begin{pmatrix} 1 \\ 0 \end{pmatrix} e^{ik_F z} + R_N \begin{pmatrix} 1 \\ 0 \end{pmatrix} e^{-ik_F z} + R_A \begin{pmatrix} 0 \\ 1 \end{pmatrix} e^{ik_F z}$$

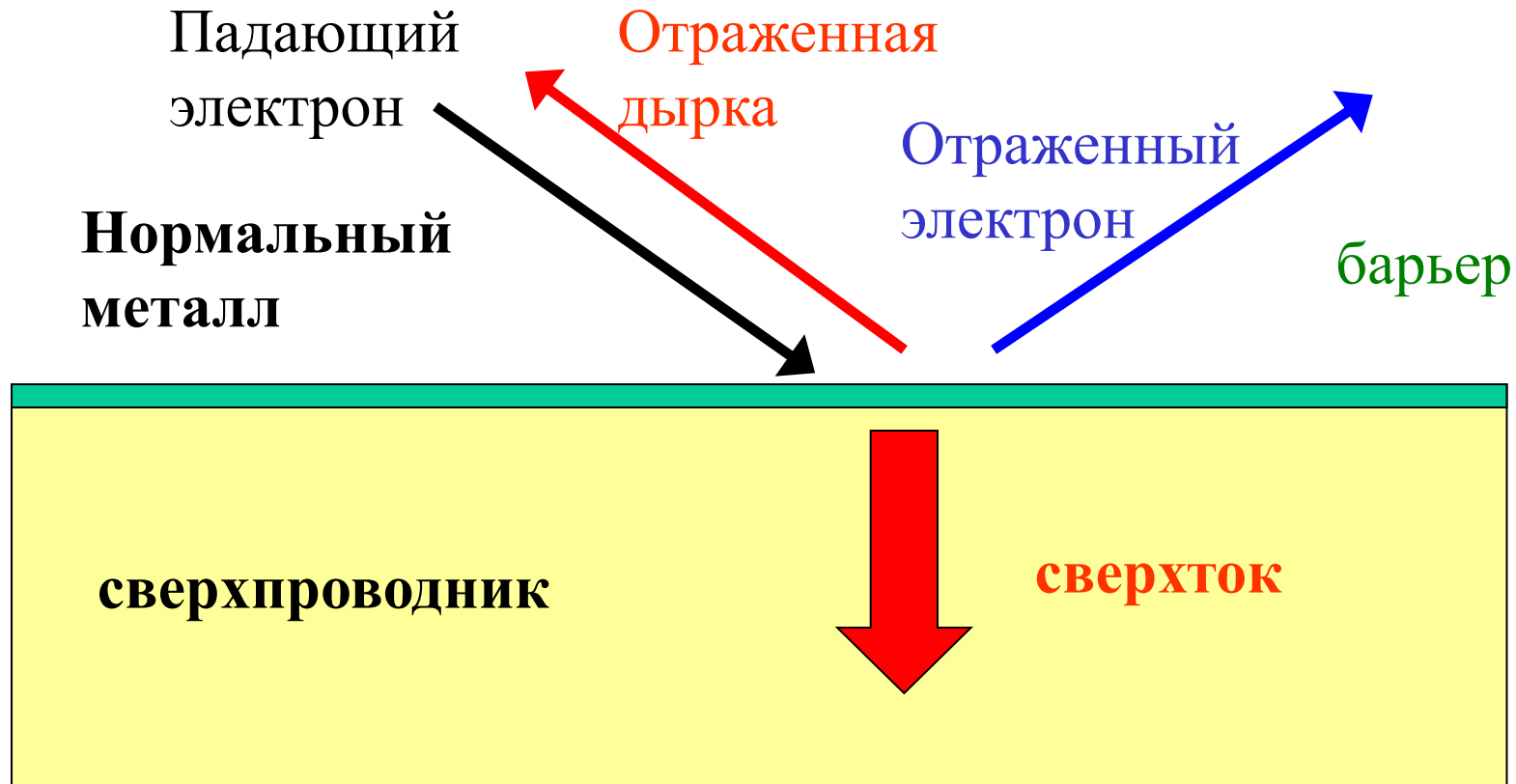
$$Z = 0 \quad \varepsilon < \Delta \quad \left| \quad R_A = -e^{i \arccos(\varepsilon/\Delta) + i\varphi} \right.$$

$$\varepsilon > \Delta \quad \left| \quad R_A = -e^{i\varphi} \left(\frac{\varepsilon}{\Delta} - \sqrt{\left(\frac{\varepsilon}{\Delta}\right)^2 - 1} \right) \right.$$

$$Z \gg 1 \quad \varepsilon < \Delta \quad R_A^2 \sim Z^{-4} = T^2 \ll 1$$

Двухчастичный процесс туннелирования.

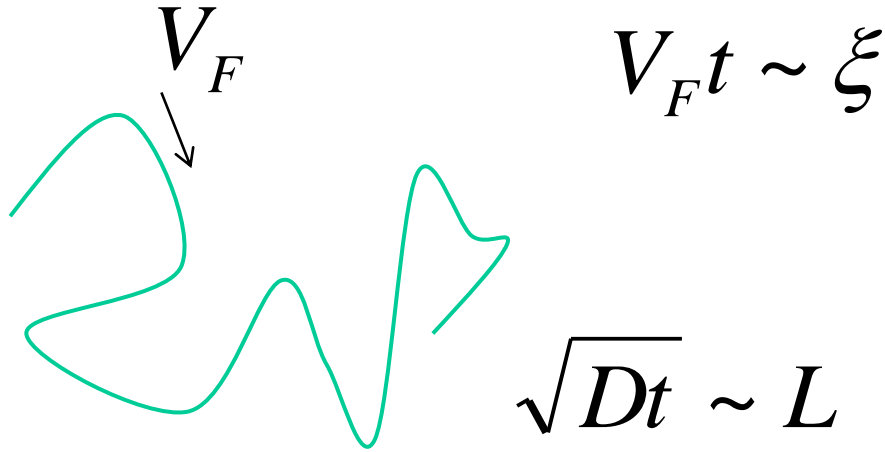
Андреевское отражение



Транспорт тепла. SNSNS структуры – промежуточное состояние (А.Ф.Андреев 1964)

Как влияет на эту картину рассеяние на примесях?

S-спаривание

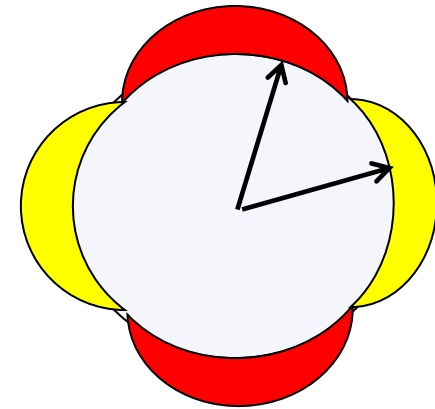


$$\sqrt{Dt} \sim L$$

$$L \sim \sqrt{\frac{D\xi}{V_F}} \sim \sqrt{l\xi}$$

**Тс не меняется –
теорема Андерсона**

Спаривание с нулями щели



$$\Delta = \frac{\Delta_0 k_x k_y}{k_F^2}$$

**Подавление
сверхпроводимости**

Квазиклассическое приближение в уравнениях для функций Грина.

$$k_F \gg \frac{1}{\xi}$$

Уравнения Эйленбергера.

Грязный предел.

$$l \ll \xi$$

Уравнения Узаделя.

Квазиклассическое приближение в уравнениях для функций Грина.

$$\left\{ i\omega - \frac{1}{2m} \left[\mathbf{p} - \frac{i}{2} \nabla_{\mathbf{R}} + m\mathbf{v}_s \left(\mathbf{R} + \frac{i}{2} \nabla_{\mathbf{p}} \right) \right]^2 + \mu \right\} G_{\omega}(\mathbf{R}, \mathbf{p}) + \Delta \left(\mathbf{R} + \frac{i}{2} \nabla_{\mathbf{p}} \right) F_{\omega}(\mathbf{R}, \mathbf{p}) = 1,$$

$$\left\{ i\omega + \frac{1}{2m} \left[\mathbf{p} - \frac{i}{2} \nabla_{\mathbf{R}} - m\mathbf{v}_s \left(\mathbf{R} + \frac{i}{2} \nabla_{\mathbf{p}} \right) \right]^2 - \mu \right\} F_{\omega}(\mathbf{R}, \mathbf{p}) + \Delta \left(\mathbf{R} + \frac{i}{2} \nabla_{\mathbf{p}} \right) G_{\omega}(\mathbf{R}, \mathbf{p}) = 0,$$

$$\Delta(\mathbf{R}) = |g| \mathcal{T} \sum_{\omega} \int F_{\omega}(\mathbf{R}, \mathbf{p}) \frac{d\mathbf{p}}{(2\pi)^3},$$

Квазиклассическое приближение в уравнениях для функций Грина.

$$\left[i\omega - \xi + \frac{i}{2} v_0 \mathbf{n} \nabla_{\mathbf{R}} - p_0 \mathbf{n} v_s \left(\mathbf{R} + \frac{i}{2} \mathbf{n} v_0 \frac{d}{d\xi} \right) \right] G_{\omega}(\mathbf{R}, \mathbf{n}, \xi) +$$

$$+ \Delta \left(\mathbf{R} + \frac{i}{2} \mathbf{n} v_0 \frac{d}{d\xi} \right) F_{\omega}(\mathbf{R}, \mathbf{n}, \xi) = 1,$$

$$\left[i\omega + \xi - \frac{i}{2} v_0 \mathbf{n} \nabla_{\mathbf{R}} - p_0 \mathbf{n} v_s \left(\mathbf{R} + \frac{i}{2} \mathbf{n} v_0 \frac{d}{d\xi} \right) \right] F_{\omega}(\mathbf{R}, \mathbf{n}, \xi) +$$

$$+ \Delta \left(\mathbf{R} + \frac{i}{2} \mathbf{n} v_0 \frac{d}{d\xi} \right) G_{\omega}(\mathbf{R}, \mathbf{n}, \xi) = 0,$$

$$f(t) = \int f(\xi) e^{i\xi t} \frac{d\xi}{2\pi}.$$

$$\left[i\omega + i \frac{d}{dt} + \frac{i}{2} v_0 \mathbf{n} \nabla_{\mathbf{R}} - p_0 \mathbf{n} v_s \left(\mathbf{R} + \frac{1}{2} \mathbf{n} v_0 t \right) \right] G_{\omega}(\mathbf{R}, \mathbf{n}, t) +$$

$$+ \Delta \left(\mathbf{R} + \frac{1}{2} \mathbf{n} v_0 t \right) F_{\omega}(\mathbf{R}, \mathbf{n}, t) = \delta(t),$$

$$\left[i\omega - i \frac{d}{dt} - \frac{i}{2} v_0 \mathbf{n} \nabla_{\mathbf{R}} - p_0 \mathbf{n} v_s \left(\mathbf{R} + \frac{1}{2} \mathbf{n} v_0 t \right) \right] F_{\omega}(\mathbf{R}, \mathbf{n}, t) +$$

$$+ \Delta \left(\mathbf{R} + \frac{1}{2} \mathbf{n} v_0 t \right) G_{\omega}(\mathbf{R}, \mathbf{n}, t) = 0.$$

Некоторые итоги

- В сверхпроводнике надо заменить одночастичное уравнение Шредингера на уравнение БдЖ и жить дальше
- Иногда может возникнуть вопрос - как устроен потенциал сверхпроводящей щели? – тогда придется решать нелинейную задачу и разбираться с устройством взаимодействия электронов
 - можно пойти дальше и понизить порядок производных в БдЖ за счет квазиклассики
- Учет рассеяния потребует более сложных уравнений для средних по беспорядку функций Грина